

ЭКСПЕРИМЕНТАЛЬНОЕ ОПРЕДЕЛЕНИЕ ЭКВИВАЛЕНТНЫХ КОМПЛЕКСНЫХ ПЕРЕДАТОЧНЫХ КОЭФФИЦИЕНТОВ НЕЛИНЕЙНЫХ ЗВЕНЬЕВ СИСТЕМ РЕГУЛИРОВАНИЯ

И. Н. Печорина

Приведено описание методики и схемы установки для определения эквивалентных комплексных передаточных коэффициентов нелинейных звеньев систем регулирования. Этую методику целесообразно использовать в том случае, когда синусоидальное колебание существенно искажается при прохождении через нелинейное звено.

В [1] описана методика определения эквивалентных комплексных передаточных коэффициентов нелинейных четырехполюсников. В некоторых случаях эта методика может быть использована и для анализа нелинейных звеньев систем регулирования [2]. Однако необходимость подбора передаточной функции линейного звена с таким расчетом, чтобы в полученной системе могли возникнуть автоколебания, затрудняет использование подобной методики при исследовании сложных нелинейных звеньев систем регулирования.

В настоящей работе рассматривается методика экспериментального определения эквивалентных комплексных передаточных коэффициентов нелинейных звеньев при помощи снятия фигур Лиссажу. Указанный способ может быть использован для получения семейства частотных характеристик и в том случае, когда выходное колебание существенно отличается от синусоидального. Экспериментальное определение передаточных коэффициентов позволит внести уточнения в выражения этих коэффициентов, полученных расчетным путем.

1. Для определения эквивалентных комплексных передаточных коэффициентов необходимо иметь генератор низких частот, который выдает одновременно два колебания, сдвинутые по фазе на 90° . Электронные низкочастотные генераторы, широко применяющиеся для снятия частотных характеристик систем, позволяют получать одновременно синусоидальное и косинусоидальное колебания. При использовании в качестве источника низкочастотных колебаний сельсина с приводом от двигателя постоянного тока с широким диапазоном регулирования скорости для получения сдвинутых на 90° составляющих напряжения необходимо внести в прибор небольшие дополнения.

Определение комплексных передаточных коэффициентов производится следующим образом (см. рис. 1). Синусоидальное напряжение u_1 подается на вход исследуемого звена 1. На выходе этого звена установится периодическое колебание $f(\omega t)$, отличное от синусоидального. Исследуемое колебание подается на вертикальный вход осциллографа 2, трубка которого имеет заметное послесвечение. Развертка производится напряжением u_1 (положение 1 переключателя Π_2) или напряжением u_2 (положение 2 переключателя

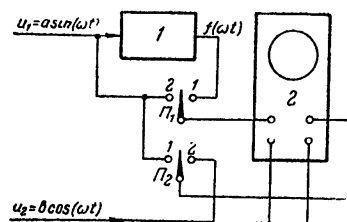


Рис. 1.

Π_2). Напряжения u_1 и u_2 гармонические и сдвинуты по фазе на 90° относительно друг друга. Для определения масштабов предусмотрен переключатель Π_1 , при помощи которого можно подавать на вертикальный вход напряжение $f(\omega t)$ (положение 1) или u_1 (положение 2).

На рис. 2 представлена возможная картина фигуры Лиссажу, которая получается при синусоидальной развертке колебания $f(\omega t)$. Площадь этой замкнутой фигуры S_1 определяется следующим образом:

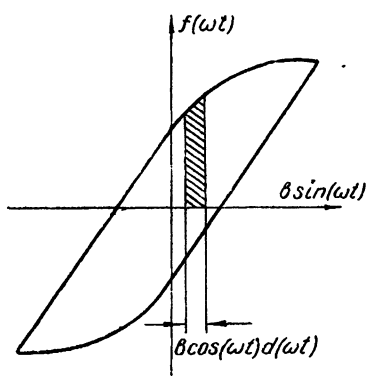


Рис. 2.

$$S_1 = \int_0^{2\pi} f(\omega t) b \cos(\omega t) d(\omega t). \quad (1)$$

Совершенно аналогично можно получить площадь фигуры Лиссажу при косинусоидальной развертке колебания $f(\omega t)$:

$$S_2 = \int_0^{2\pi} f(\omega t) b \sin(\omega t) d(\omega t). \quad (2)$$

В выражениях (1) и (2) b — амплитуда колебания, при помощи которого осуществляется развертка.

Разложим колебание $f(\omega t)$ в ряд:

$$f(\omega t) = f_0 + c_1 \sin \omega t + c_2 \cos \omega t +$$

Коэффициенты c_1 и c_2 определяются по формулам:

$$c_1 = \frac{1}{\pi} \int_0^{2\pi} f(\omega t) \sin(\omega t) d(\omega t);$$

$$c_2 = \frac{1}{\pi} \int_0^{2\pi} f(\omega t) \cos(\omega t) d(\omega t). \quad (3)$$

Сопоставляя формулы (1), (2) и (3), видим, что

$$c_1 = S_2 / \pi b;$$

$$c_2 = S_1 / \pi b. \quad (4)$$

Из выражений (4) получим мнимую и вещественную части комплексного передаточного коэффициента W_n исследуемого нелинейного звена при амплитуде входного колебания, равной a :

$$\operatorname{Re} W_n = S_2 / \pi ab; \quad (5)$$

$$\operatorname{Im} W_n = S_1 / \pi ab.$$

2. Схема установки для определения эквивалентных комплексных передаточных коэффициентов представлена на рис. 3. Через редуктор 2 двигатель постоянного тока 1 вращает сельсин 3. Модулированное напряжение, снятое с сельсина, поступает на вход фазочувствительного усилителя 4. Напряжение на выходе усилителя сглаживается при помощи фильтра 5 и может быть подано на вход нелинейного звена 6, характеристики которого определяются. Параллельно основному сельсину подключается однотипный сельсин 3' (с усилителем 4' и фильтром 5'). Напряжение, снятое с однофазной обмотки сельсина 3', пре-

образуется так же, как и напряжение основного сельсина. Таким образом, получается два идентичных канала. Поворачивая ротор второго сельсина, можно установить на выходе второго канала напряжение низкой частоты, сдвинутое на 90° по отношению к напряжению на выходе первого канала. Для второго канала можно с успехом использовать испытатель сельсинов.

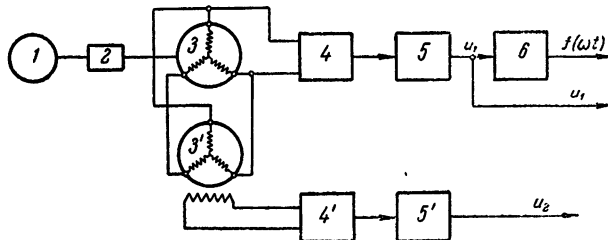


Рис. 3.

Сдвиг по фазе напряжений низкой частоты на выходе первого и второго сельсинов несколько изменяется при увеличении частоты, что требует или специальной градуировки ротора вспомогательного сельсина, или проверки правильности фазы напряжения u_2 по отношению к напряжению u_1 перед измерением на данной частоте.

ЛИТЕРАТУРА

1. В. А. Двипинских, Изв. высш. уч. зав.— Радиофизика, 1, 4, 170 (1958).
2. J. C. Clegg, K. M. Chirgwin, Applications and Industry, 73, 14, 155 (1954).

Уральский политехнический институт

Поступила в редакцию
29 мая 1959 г.